

دراسة تأثير السمك والتلدين على بعض المعلومات البصرية لاغشية ثانوي اوكسيد القصدير المشوب بالنحاس

المعهد التقني – قسم الميكانيك / الديوانية  
كلية التربية – قسم الفيزياء / الجامعه المستنصرية  
كلية التربية – قسم الفيزياء / الجامعه المستنصرية  
كلية التربية – قسم الفيزياء / الجامعه المستنصرية

م.م حاكم ترتيب كاظم  
م.م لقاء غالب صبحي  
أ. خضير عباس مشجل  
أ.د نادر فاضل حبوبى

### الخلاصة:

حضرت اغشية رقيقة من ( $\text{SnO}_2:5\%\text{Cu}$ ) على قواعد من زجاج السلايدات بتقنية التحل الكيميائي الحراري . وتم دراسة الخواص البصرية باختلاف السمك وتم معاملتها بدرجات حرارة اعلى من درجة حرارة التحضير .  
تم دراسة الثوابت البصرية بالاعتماد على اطیاف الامتصاصية والنفاذية لهذه الاغشية في مدى الاطوال الموجية (350-900 nm) وتم حساب الثوابت البصرية الاتيه : معامل الامتصاص , الانعكاسية , معامل الخمود , معامل الانكسار وثبت العزل الكهربائي الحقيقي والخيالي والايصالية البصرية كدالة لطاقة الفوتون.

### **Study of the Effect of Thickness and Annealing Process on Optical Properties of ( $\text{SnO}_2:5\%\text{Cu}$ ) Thin Films**

**M.Sc. Hakim T. Kadhim\* M.Sc. Liqa Subhi Ghalb\*\* Prof. Khudheir A. Mishjil\*\* Prof. Dr. N. F. Habubi\*\***

**\*AL-Dewaniya Technical Institute / Department of Mechanics**

**\*\*AL-Mustansiriyah University/College of Education / Physics Department**

### Abstract :-

Thin films of  $\text{SnO}_2:5\%\text{Cu}$  have been prepared on slide glass using chemical spray pyrolysis technique. The optical constants were studied in accordance to the recording of the absorptance and transmittance spectra in range of wave-lengths (350-900) nm . The following optical constants have been calculated: (absorption coefficient , Reflectance, extinction coefficient, refractive index, dielectric constant in its two parts, and optical conductivity) as a function of photon energy.

**المقدمة:**

إنَّ أَكَاسِيدَ التَّوْصِيلِ الشَّفَافَةِ وَالَّتِي يُطْلَقُ عَلَيْهَا اختصاراً (Transparent Conductive Oxides) (TCOs)، هي عبارة عن أشباه موصلات مركبة مكونة من معدن متعدد مع الأوكسجين مثل  $\text{SnO}_2$ ,  $\text{In}_2\text{O}_3$ ,  $\text{ZnO}$  [1]. وتجمع هذه المواد بين ميزتين، إذ تتميز بارتفاع توصيليتها ونفاذيتها البصرية العالية (شفافة) فيما يمتد طيف النفاذية فيها ما بين [2] (400–1500 nm)، ويعتمد ذلك على ظروف تحضير المادة وعلى الرغم من كبر فجوة طاقة هذه الأغشية فهناك امكانية تواجد الكترونات حرّة في حزمة التوصيل [3].

ونتيجة لذلك نجد الدراسات الحديثة قد اتجهت إلى الاهتمام بأغشية ( $\text{SnO}_2$ ) نظراً لأهميةها التكنولوجية ولما لها من تطبيقات عدّة اذ تستخدم في النبات الكهروبصرية وفي نبات تحويل الطاقة المباشرة في (موصل-عزل-موصل) في المجمعات الشمسية [5,4]. وبعد ثائني أوكسيد القصدير مادة حساسة لمختلف الغازات مما ادى إلى اجراء الكثير من البحث في مجال متحسسات الغاز (Gas Sensors) [6]. وقد استخدم مؤخراً في تصميم الاجهزة الاباعثة للضوء فوق البنفسجي (UV)، ودايود الليزر [7]. توسيع تطبيقاته حتى شمل استخدامه كنواذن موصلة في تكنولوجيا الخلية الضوئية، كما يمكن وضع طبقة من ثائي أوكسيد القصدير كقطب معدني في تركيب (شبه موصل-معدن)، لذا أصبح من غير الضروري استخدام شبكة جامعة (Collector Grid) [8]. كما تستخدم كمرشحات في المدى تحت الحمراء وتبقى شفافة في المدى المرئي [9].

يهدف البحث الحالي إلى دراسة تأثير التلدين على الخصائص البصرية لأغشية ( $\text{SnO}_2:5\% \text{Cu}$ ) المحضره باسمك مختلفه وبتقنية التحلل الكيميائي الحراري .

**العمل التجاري:****تحضير المحلول المستخدم في تحضير أغشية ( $\text{SnO}_2$ ):**

لتحضير المحلول المستخدم في تحضير أغشية ( $\text{SnO}_2$ ) الرقيقة بطريقة التحلل الكيميائي الحراري فقد استخدمت مادة كلوريدات القصدير المائية (Stanic Cloride Hydrated) ورمزها الكيميائي ( $\text{SnCl}_4 \cdot 5\text{H}_2\text{O}$ ) وهي عبارة عن مسحوق أبيض اللون سريع الذوبان بالماء، وقد تم تحضير المحلول بتركيز مولاري ( $0.1 \text{ mol/L}$ )، وذلك بإضافة (3.5058 g) منها في (100ml) من الماء المقطر.

ويخلط المحلول باستخدام خلاط مقاططي (Magnetic Stirrer) لمدة (15-20min)، وبعد إكمال عملية الإذابة يتم الحصول على محلول رائق عديم اللون.

لتحضير أغشية ( $\text{SnO}_2$ ) المشوهة بالنحاس (Cu)، فقد استخدمت مادة كلوريد النحاس ( $\text{CuCl}_2$ )، وهي عبارة عن مسحوق أحمر سريع الذوبان في الماء، وزنه الجزيئي (134.466g/mol)، وتم تحضير المحلول بتركيز مولاري ( $0.1 \text{ mol/L}$ )، إذ تم إذابة (1.3446 g) من كلوريد النحاس في (100 ml) ماء مقطر.

ويخلط المحلول باستخدام خلاط مقاططي (Magnetic Stirrer) لمدة (15-20min)، وبعد إكمال عملية الإذابة تم الحصول على محلول رائق عديم اللون. ثم يضاف إلى محلول كلوريد القصدير وبنسبة حجمية مقدارها 5% ، يهيا المحسن الكهربائي لغرض ترسيب الأغشية حتى يصل إلى درجة الحرارة المطلوبة للتحلل وهي  $500^{\circ}\text{C}$ . بعد ذلك يوضع جهاز التزريه بشكل عمودي باتجاه القواعد على بعد ( $32 \pm 1\text{cm}$ ). ثم يوضع المحلول المطلوب ترسيب الأغشية منه في خزان جهاز التزريه، وبمعدل ترسيب (10ml/min) وتغلق المضخه الهوائية للتوقف لمدة (3min) لضمان رجوع درجة حرارة القواعد التي انخفضت

بسبب الرذاذ البارد إلى قيمتها الأولى. وأثناء عملية التحلل يدور المحسن بشكل دائري لضمان الترسيب المتجانس. وبعد فترة التوقف تعاد العملية عدة مرات لحين الوصول إلى السمك المطلوب. وعند الانتهاء يترك الغشاء فوق السخان لمدة (5min) لكي تتم عملية الإنماء البلوري بشكل جيد.

تم تسجيل طيفي الامتصاصية والنفاذية باستخدام مطياف نوع (PU8800UV\VIS) في مدى الطيف nm (900-350)، لعدد من الاسماك (0.2,0.4,0.6) $\mu\text{m}$ .

ان عملية تعريض الغشاء لنرجة حراريء معينه وفتره زمنيه محدده تدعى بالمعامله الحراريء وقد تجري هذه العملية بالفراغ او بوجود الغازات او الهواء وتؤثر عملية التلدين على التركيب البلوري والانتقالات الالكترونيه وتؤدي الى تقليل المستويات الموضعيه في المواد الالبوريه . اما في المواد الالبوريه فانها تقلل من العيوب الالبوريه حيث اما انها تمنع الذرات الطافه الحركيه اللازمه لاعادة ترتيب نفسها في الشبيكه الالبوريه واستعمل لهذا الغرض فرن كهربائي من نوع (L7C- Manfredi) ايطالي المنشأ وتصل درجة حرارته اكثر من 800°C بوجود الهواء الجوي وقد تم تلدين الغشاء بدرجات حراريء 600°C ولمدة ساعتين ثم يترك الغشاء داخل الفرن الى ان يبرد و تم تسجيل طيفي الامتصاصية والنفاذية باستخدام مطياف لمدى الطيف nm (350-900) قبل التلدين وبعده .

### النتائج والمناقشات:

يمكن ايجاد العديد من الثوابت البصرية من خلال دراسة طيف الامتصاصية لمديات واسعة من الاطوال الموجيه حيث تتأثر امتصاصية المواد بعوامل عده مثل السمك ، وطول موجة الاشعاع الساقط ولون المادة .

والشكل (1) يمثل تغير طيف الامتصاصية دالة لطول الموجي باختلاف السمك وقد بينت النتائج ان الامتصاصية تقل مع زيادة الطول الموجي للاغشية كافه ويعني هذا فيزيائياً ان الفوتون الساقط لم يستطع ان يهيج الالكترون وينقله من حزمة التكافؤ إلى حزمة التوصيل لأن طاقة الفوتون الساقط اقل من قيمة فجوة الطاقة لشب الموصل ولهذا أصبحت الامتصاصية تقل حيث نلاحظ ان الغشاء المحضر يتميز بامتصاصية عاليه في الاطوال الموجية القصيرة وان طيف الامتصاصية يقع ضمن المنطقة المرئية وبعدها نلاحظ نقصانه في الامتصاصيه بزيادة الطول الموجي بعد هذه المنطقه ومن الشكل يظهر ان الاغشية تزداد امتصاصيتها مع زيادة سمك الغشاء

والشكل (2) يمثل تغير طيف الامتصاصية دالة لطول الموجي باختلاف درجة حرارة التلدين حيث ان الامتصاصية تقل بزيادة درجة حرارة التلدين وتم اخذ الغشاء ذو سمك (0.2) $\mu\text{m}$  لعملية التلدين ودراسة الخواص البصرية عليه .

يظهر منحنى النفاذية كما في الشكل (3) اذ يبدي زيادة مفاجئة وقوية عند الطول الموجي (450 nm) مما يدل على ان هذه الاخشيه تصلح كنافذه بصريه (Window Gap) للخلايا الشمسية لأن المنطقة الطيفية الفعالة في الخلايا الشمسية تقع في المنطقة المرئية من الطيف الكهرومغناطيسي ونلاحظ نقصان النفاذية بزيادة سمك الغشاء.

واما الشكل (4) يوضح النفاذية دالة لطول الموجي قبل وبعد التلدين حيث تزداد النفاذية بزيادة درجة الحرارة.

وقد تم حساب معامل الامتصاص  $\alpha$ - (Absorption Coefficient) في منطقة الامتصاص الاساسية باستخدام العلاقة الآتية [10]:

$$\alpha = 2.303 A / t \quad \dots(1)$$

اذ تمثل  $A$ : امتصاصيه الغشاء  $t$  : سمك الغشاء

يبين الشكل (5) تغير معامل الامتصاص كدالة لطاقة الفوتون الساقط بأختلاف السمك وكانت قيم معامل الامتصاص  $\alpha$  ( $>10^4 \text{ cm}^{-1}$ ) مما يرجح حدوث انتقالات الكترونيه مباشره وان الطاقات العالية التي حسبت عندها هذه القيم هي فجوة الطاقة ، ان معامل الامتصاص يكون قليل عند الطاقات الفوتونية الواطنة وفيها تكون احتمالية الانتقالات الالكترونية قليلة وتزداد قيم معامل الامتصاص عند حافة الامتصاص باتجاه الطاقات العالية ويتأثر معامل الامتصاص بزيادة السمك.

اما بعد اجراء التلدين لاحظنا ان معامل الامتصاص يقل بزيادة درجات الحرارة مما يدل على تقليل العيوب البلوري وهذا ما يوضحه الشكل (6)

وتم حساب الانعكاسية ( $R$ ) من العلاقة [11]:

$$A+T+R=1 \quad \dots(2)$$

والشكل (7) يبين تغير الانعكاسية ( $R$ ) كدالة لطاقة الفوتون باختلاف الاسماك اذ نلاحظ ان الانعكاسية تزداد بزيادة طاقة الفوتون وان اختلاف السمك ادى الى تغير قيم الانعكاسية وقد بینت النتائج ان الانعكاسية تقل بزيادة سمك الغشاء اذ ان اختلاف السمك اثر في التركيب البلوري لمادة الغشاء وغير طبيعة سطوح الاغشية وكذلك بزيادة درجات حرارة التلدين وهذا موضح بالشكل (8)

وتم حساب معامل الخمود ( $K_o$ ) للاغشية المحضرة من المعادلة الآتية [12]:

$$K_o = \alpha \lambda / 4\pi \quad \dots(3)$$

حيث ان  $\lambda$  الطول الموجي للشعاع الساقط والشكل (9) يبين تغير معامل الخمود مع طاقة الفوتون لجميع الاسماك وجد ان معامل الخمود يزداد بزيادة طاقة الفوتون ونستطيع ملاحظة التشابه في طبيعة منحني معامل الخمود مع منحني معامل الامتصاص اذ ان التشابه ناتج عن اعتماد قيم معامل الخمود على قيم معامل الامتصاص ويتأثر معامل الخمود بزيادة سمك الغشاء .

بينما لاحظ ان معامل الخمود يقل بزيادة درجة حرارة التلدين وهذا ملاحظه في الشكل (10)

تم حساب معامل الانكسار ( $n_o$ ) وفق المعادلة [13]

$$n_o = \{(1+R)^2 / (1-R)^2 - (K_o^2 + 1)\}^{1/2} + (1+R) / (1-R) \quad \dots(4)$$

الشكل (11) يبين تغير معامل الانكسار مع طاقة الفوتون يزداد معامل الانكسار بصورة تدريجية تبعاً لزيادة طاقة الفوتون ان طبيعة منحني معامل الانكسار مشابهة لطبيعة منحني الانعكاسية وذلك لارتباط الانعكاسية مع معامل الانكسار وان على قيمة تكون مقاربة لفجوة الطاقة ونلاحظ نقصان قيم معامل الانكسار بزيادة السمك وكذلك بزيادة درجات حرارة التلدين كما في الشكل (12) ويعزى ذلك الى نقصان قيم الانعكاسية.

<sup>[14]</sup> المعادلة (ع) من ثابت العزل الحقيقي حساب تم.

الشكل (13) يبين تغير ثابت العزل الكهربائي الحقيقي مع طاقة الفوتون اذ نلاحظ ان سلوك المنحني يشبه الى حد سلوك منحني معامل الانكسار ونلاحظ ان تاثير معامل الخمود قليل جدا مقارنة بتاثير معامل الانكسار ويمكن اهماله خاصة عند الطاقات الفوتونية الواطنة اما عند زيادة السمك نلاحظ ان طبيعة منحني ثابت العزل الحقيقي بصورة عامه لم يتغير شكلها ويعزى ذلك الى ارتباط الجزء الحقيقي لثابت العزل الكهربائي بمعامل الانكسار .ونلاحظ ان ثابت العزل الحقيقي يقل بزيادة سمك الغشاء والشكل (14) يوضح ثابت العزل الكهربائي الحقيقي بعد عملية التدرين اذ تقل قيمه بزيادة درجة الحرارة .

[15] تم حساب ثابت العزل الكهربائي، **الخالى**، من المعادله

يوضح الشكل (15) تغير ثابت العزل الكهربائي الخيالي مع طاقة الفوتون ونلاحظ تشابهه طبيعة تغير الجزء الخيالي ومعامل الخومد حسب العلاقة التي بموجبها تم حساب قيم الجزء الخيالي لثابت العزل الكهربائي حيث يكون تأثير معامل الانكسار صغيرا جدا فيهمل . اذاً قيمة ثابت العزل الخيالي تتاثر مع زيادة سمك الغشاء اما بالتلدين فان قيمة نقل بازدياد درجات الحرارة كما في الشكل (16) .

[16] تم حساب التوصيلية البصرية وفقاً للعلاقة

$$\delta = \alpha n_0 C / 4\pi \quad \dots (7)$$

حيث  $C$  : سرعة الضوء في الفراغ .

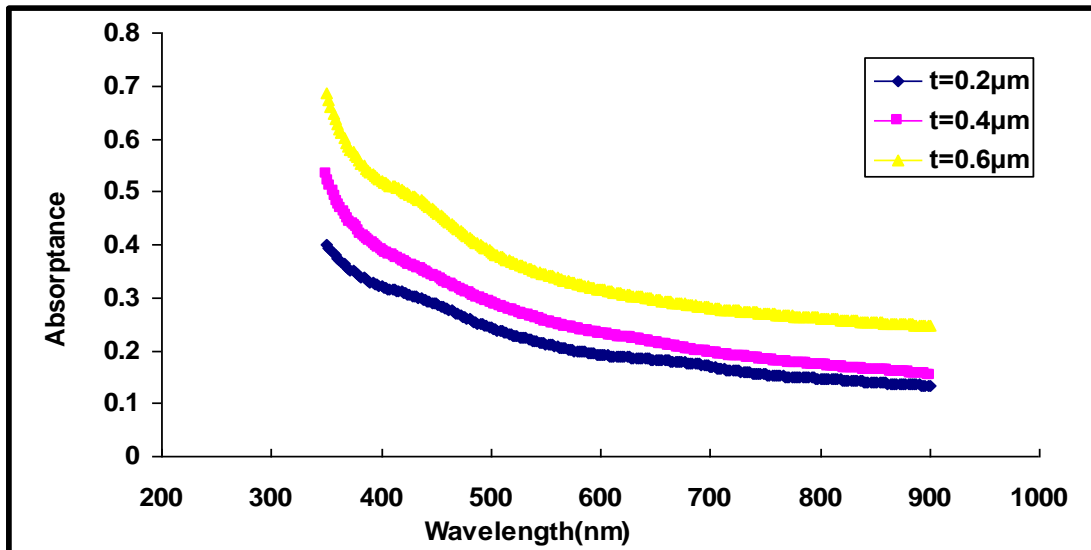
الشكل (17) يبين تغير التوصيلية البصرية مع طاقة الفوتون ونلاحظ تأثير قيم التوصيلية بزيادة طاقة الفوتون باختلاف السمك لاعتمادها على معامل الامتصاص وانها تقل بزيادة درجات الحرارة عند التدرين كما موضح بالشكل (18).

**الاستنتاجات:**

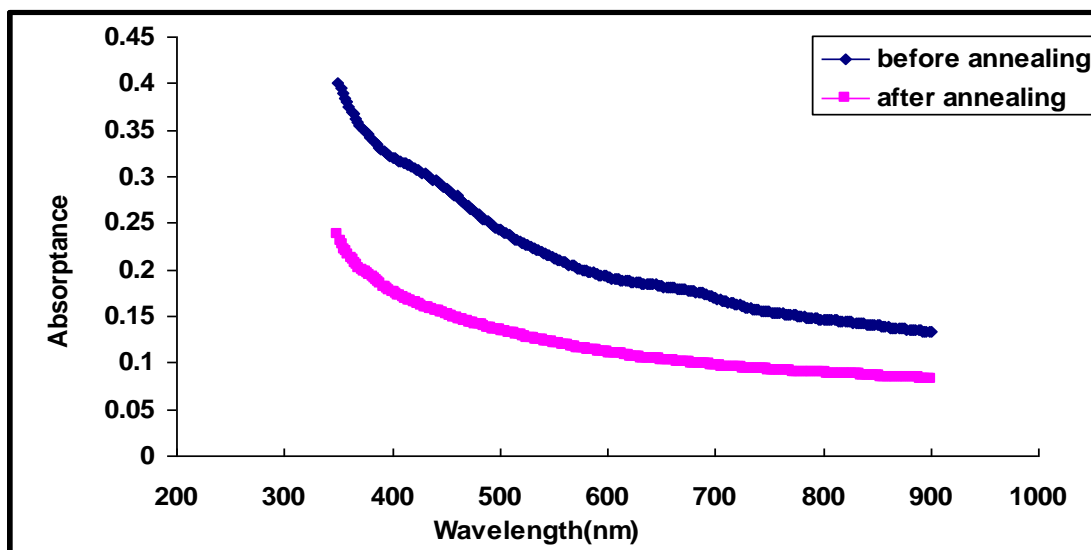
- 1- تعد طريقة التحلل الكيميائي الحراري من الطرق الناجحة لتحضير ثانوي اوكسيد القصدير وبالمساحات التي يمكن ان تغطي الكثير من التطبيقات
- 2- ان زيادة السمك ادى الى نقصان في قيم الانعكاسية ( $R$ ) ومعامل الانكسار ( $n_0$ ) والجزء الحقيقي لثابت العزل الكهربائي.
- 3- ان التلدين ادى الى نقصان في قيم الانعكاسية ( $R$ ) ومعامل الانكسار ( $n_0$ ) والجزء الحقيقي لثابت العزل الكهربائي ( $\epsilon_1$ )
- 4- ادى التلدين الى نقصان في قيم معامل الخمود ( $k_0$ ) والتوصيلية البصرية ( $\sigma$ ) والجزء الخيالي لثابت العزل الكهربائي ( $\epsilon_2$ ).

**المصادر:**

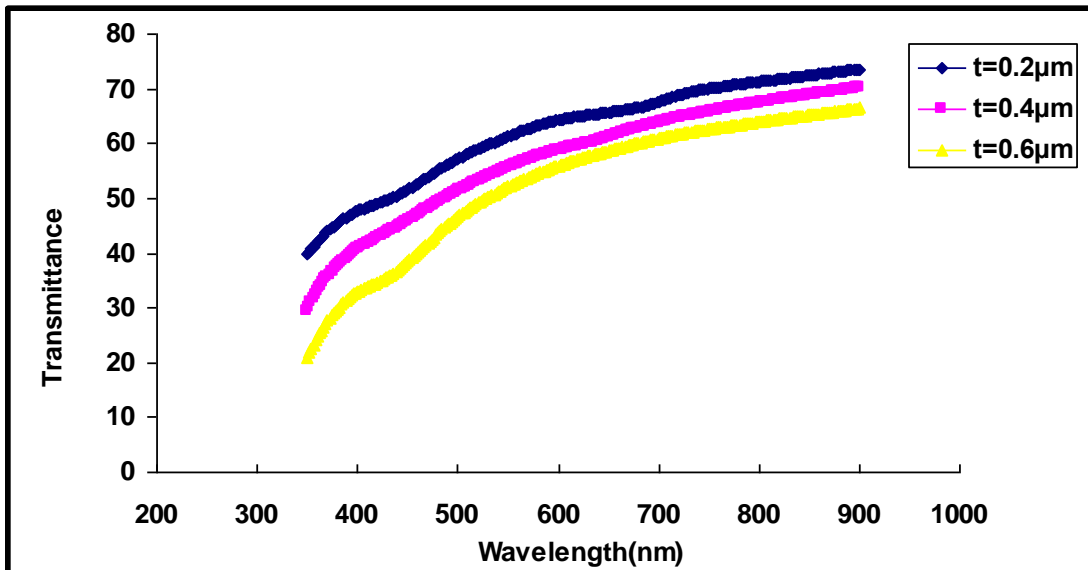
1. K. L. Chopra, (1969), "Thin Films phenomena", Mc Graw-Hill New York.
2. H. A. Macleod, 3rd Ed., (2001), "Thin Film Optical Filters".
3. Tribble, (2002), "Electrical Engineering materials And Devices" university of Iowa.
4. S. Shanthi, C. Subramanian, P. Ramasmy, Cryst. Res., Technol., (1999), Vol. 34, P. 1037.
5. K. Von Rottkay, M. Rubin, Mater., (1996), Res. Soc. Proc., Vol. 426, P.(449).
6. E. Elangovan, M. Singh, M. Dharaprahak, K. Ramamurthi, (2004), J. of Optoelectronics and Advanced Material, Vol. 6, No. 1, P.197.
7. M. Gaidi, A. Hajjaji, A. El Khakani. B. Chenevier, M. Labeau, and B. Bessa, (2009), Japanese Journal of Applied Physics, Vol.48 ,P.1.
8. J. C. Manifacier, M. DeMurcia and J. Fillard, (1977), Thin Solid Films, Vol. 41, P. 127.
9. A. Mohammed, M. Bagheri, D. Mohagheghi, M. Shokooh, Saremi, (2004), J. Phys. D. Appl. Phys., Vol. 37, P. 1248.
10. Willian C. Dickinson, Paul N. Cheremisionoff, (1980), "Solar Energy Technology", Handbook Part A, p. 498.
11. K.L.Chopra.S.Major and D.K.pandya, (1983),"Transparent Conductors-Astatus Review",Thin solid film, Vol.102, P.1.
12. S. O. Kasap, (2002), "Principles of Electronic Materials and Devices", 2nd Ed, McGraw-Hill, New York.
13. G.I.Pankove, (1971), Prentice-Hall, N.J.
14. M.A Khashau.A.M. EL-Nagger, (2000), optics communications, Vol174, p.445.
15. T.M.Kazykov , (1988)," Thin soild film " ,Vol.64, P.301.
16. S.Nakamura, A.Yamamoto, (2001), Sol. Energy mater. Sol. Cells, Vol.65, p.79.



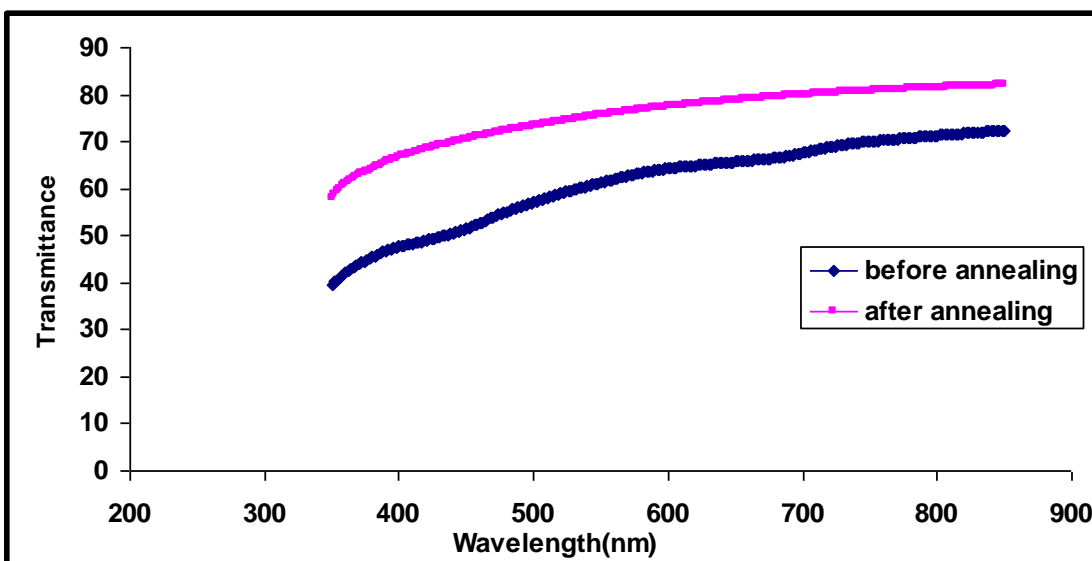
الشكل (1) طيف الامتصاصية كدالة لطول الموجي بتغير السمك



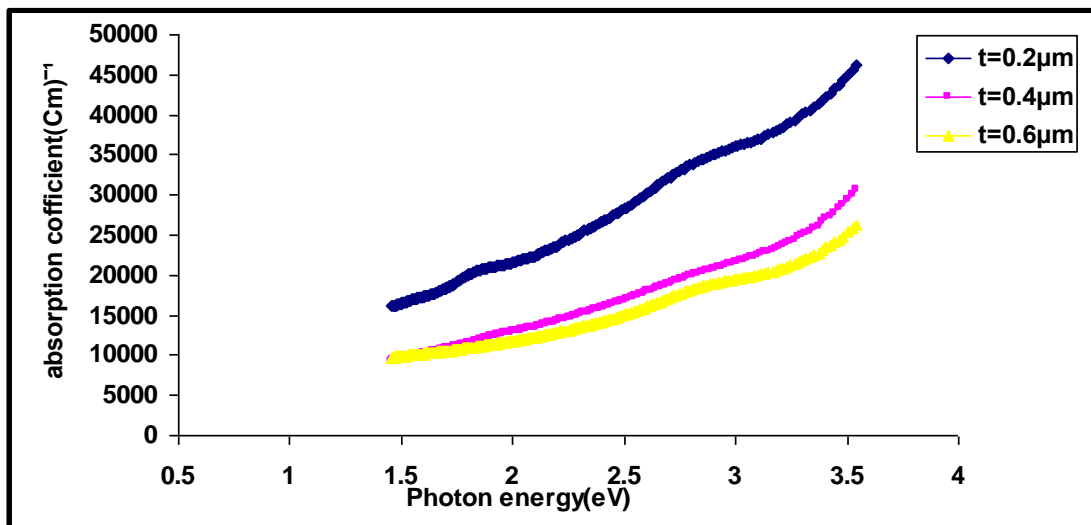
الشكل (2) طيف الامتصاصية كدالة لطول الموجي قبل وبعد التلدين



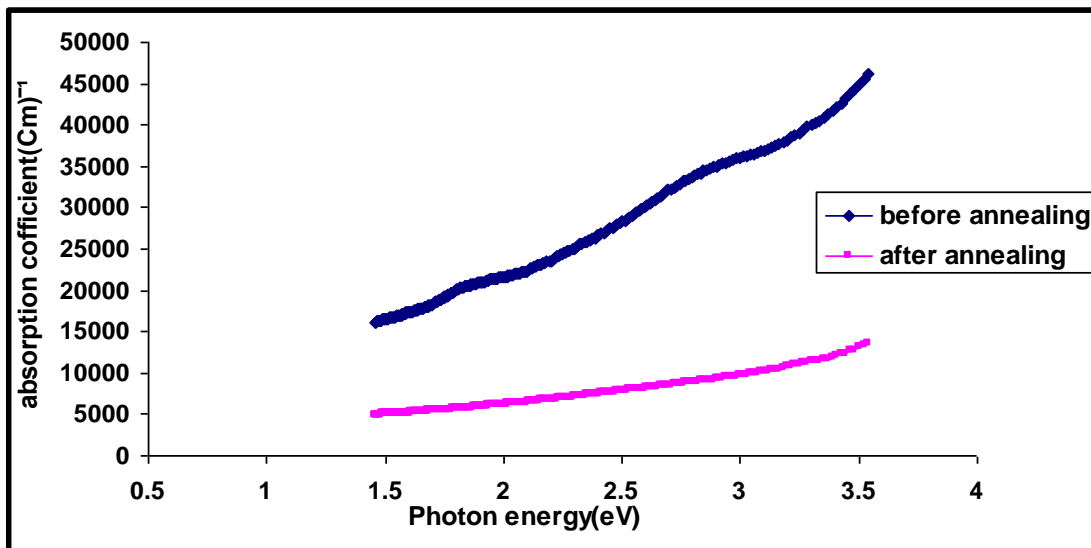
الشكل (3) طيف النفاذية كدالة لطول الموجي ب مختلف السمك



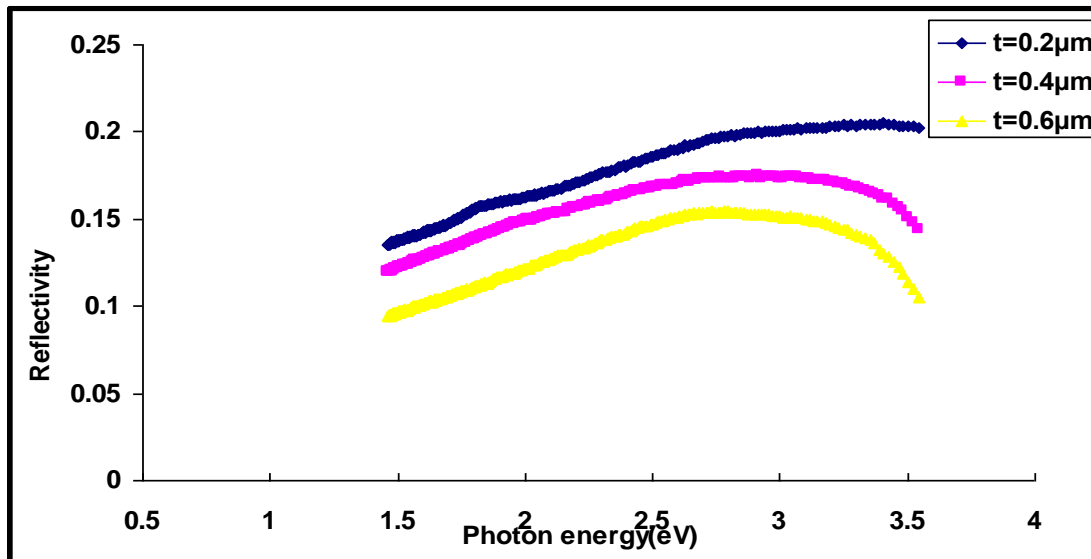
الشكل (4) طيف النفاذية كدالة لطول الموجي قبل وبعد التلدين



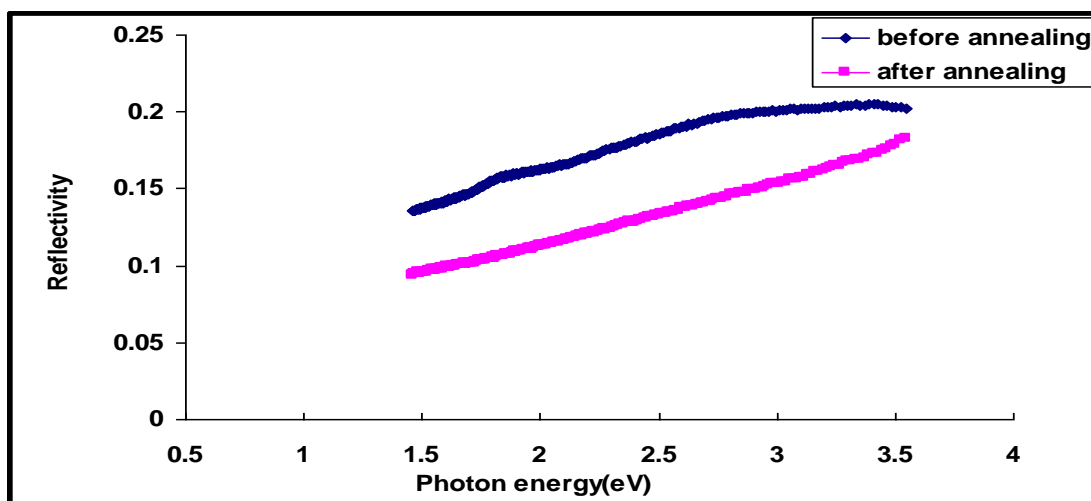
الشكل (5) معامل الامتصاص كدالة لطاقة الفوتون باختلاف السمك



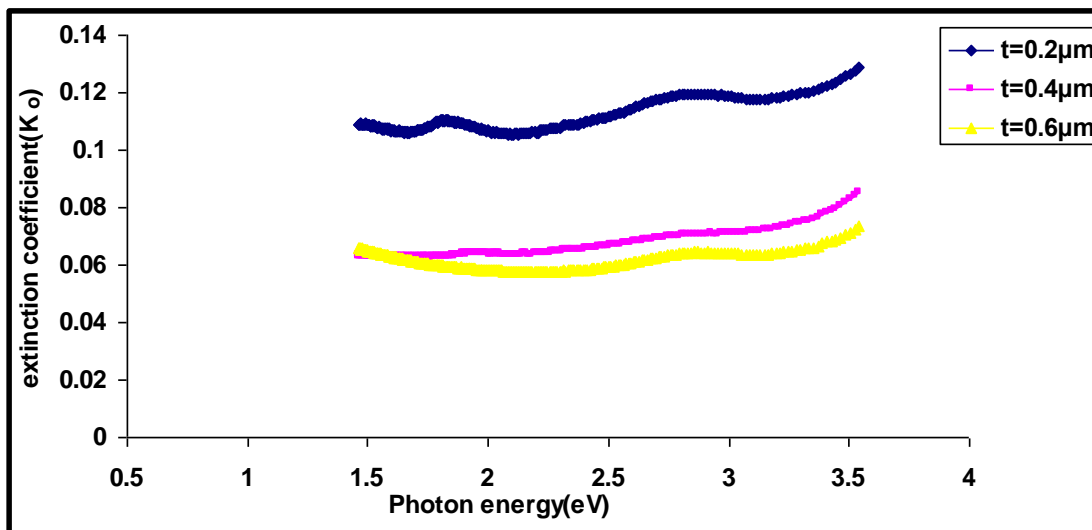
الشكل (6) معامل الامتصاص كدالة لطاقة الفوتون قبل وبعد التلدين



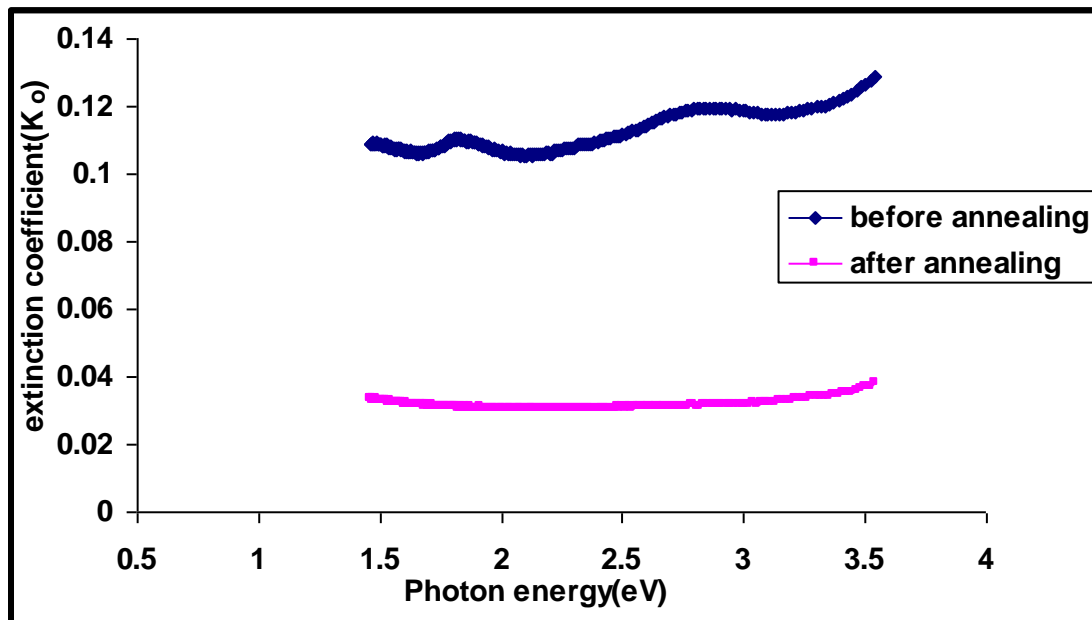
الشكل (7) الانعكاسيه كدالة لطاقة الفوتون باختلاف السمك



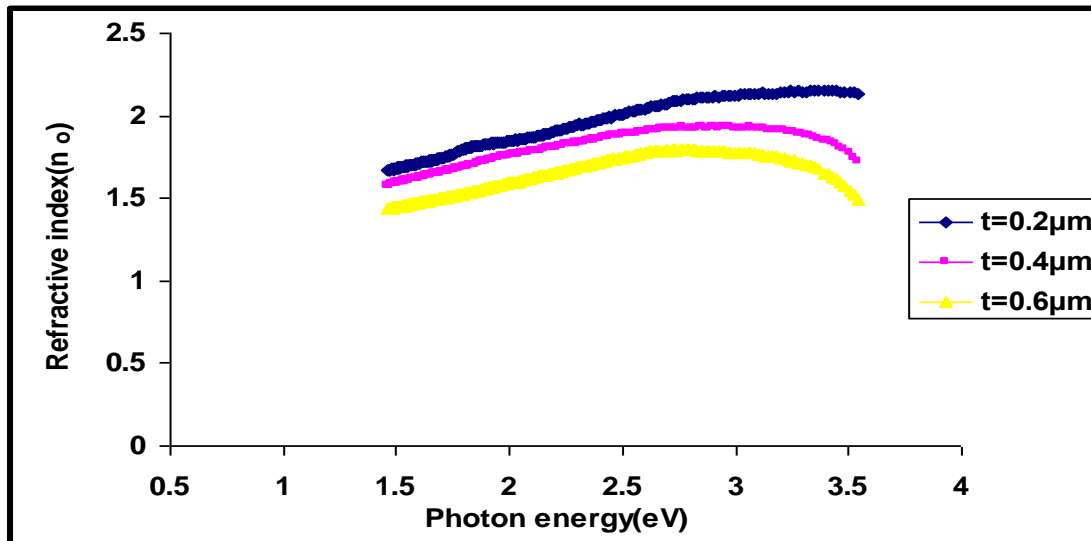
الشكل (8) الانعكاسيه كدالة لطاقة الفوتون قبل وبعد التتدين



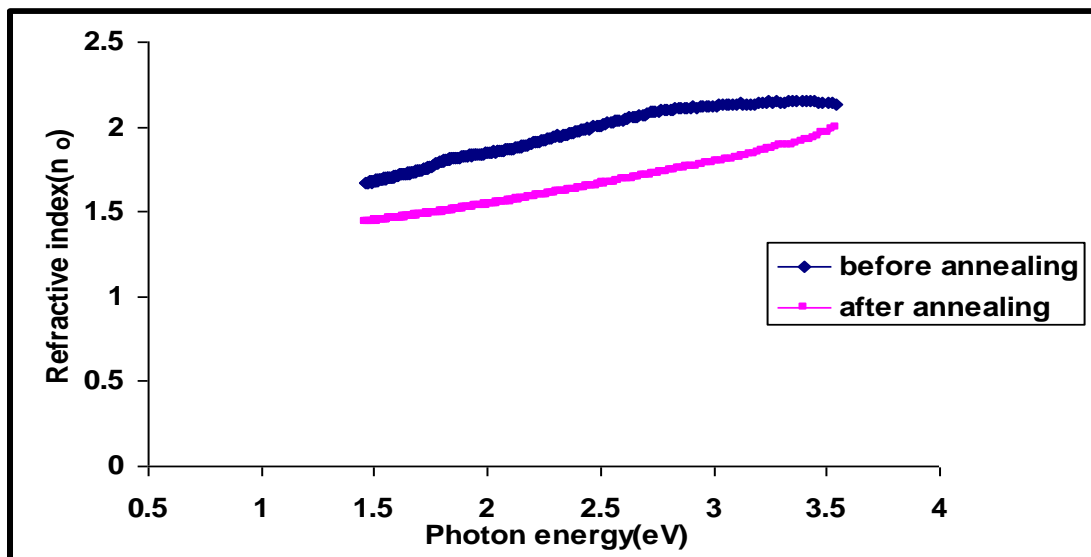
الشكل (9) معامل الخمود كدالة لطاقة الفوتون باختلاف السمك



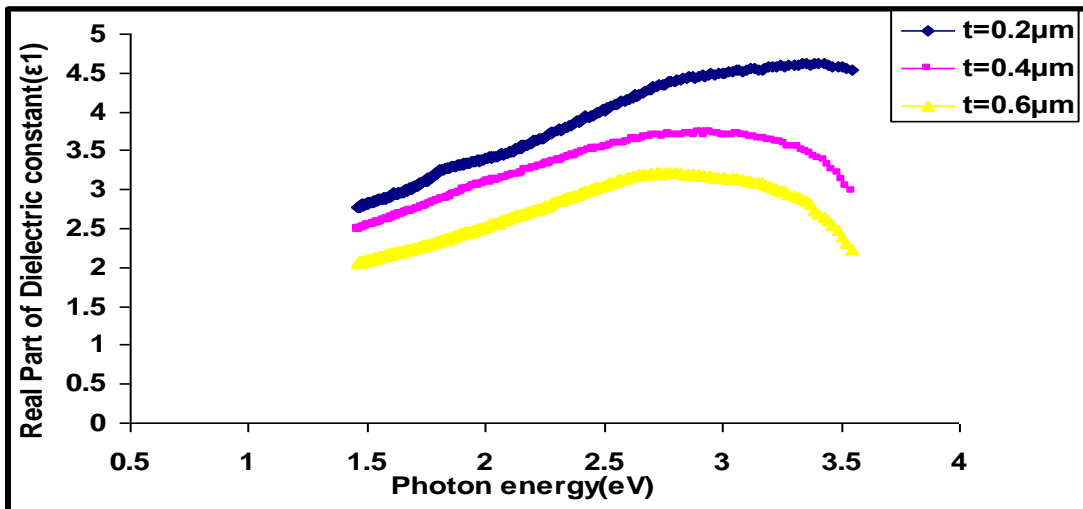
الشكل (10) معامل الخمود مع طاقة الفوتون قبل وبعد التلدين



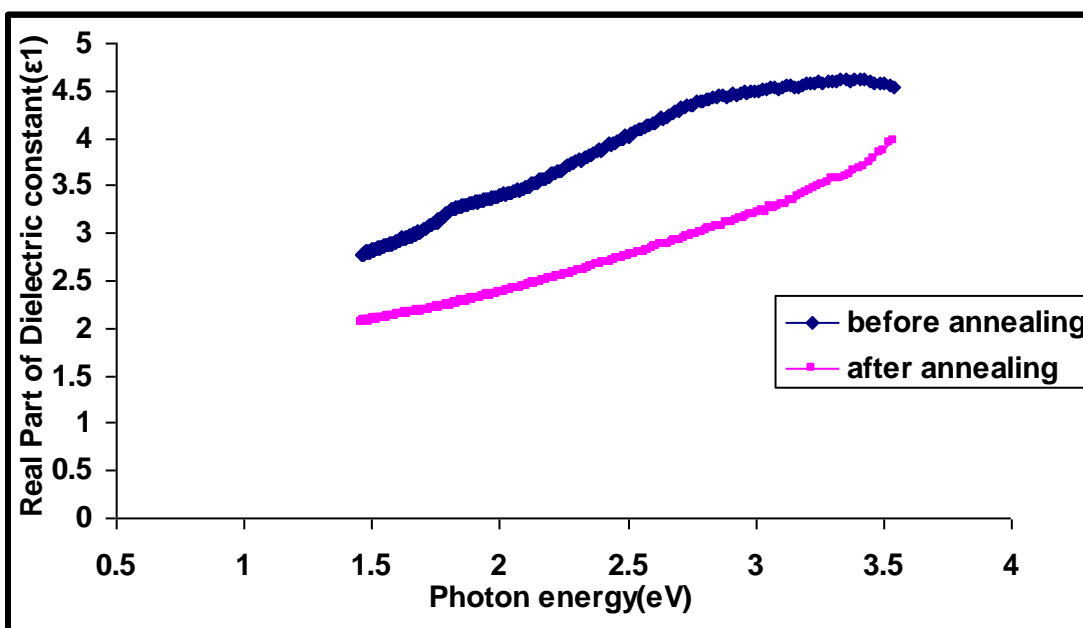
الشكل (11) معامل الانكسار مع طاقة الفوتون باختلاف السمك



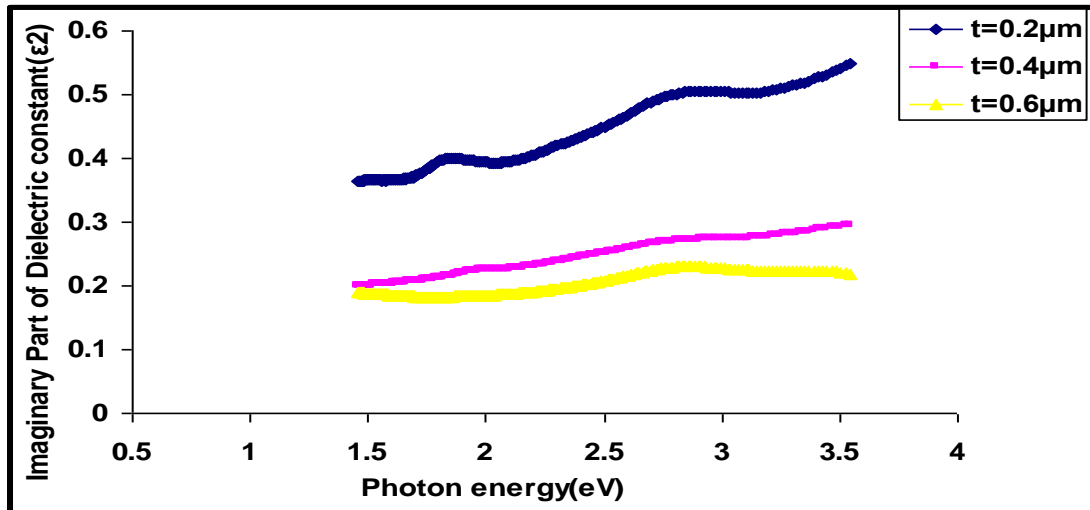
الشكل (12) معامل الانكسار مع طاقة الفوتون قبل وبعد التلدين



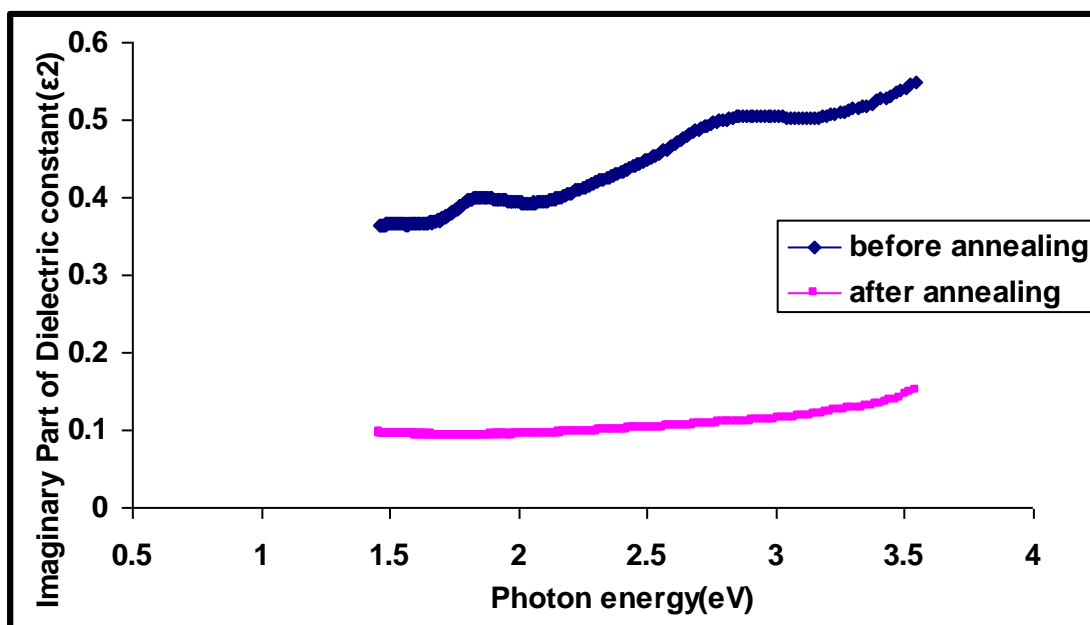
الشكل (13) ثابت العزل الكهربائي الحقيقي مع طاقة الفوتون باختلاف السمك



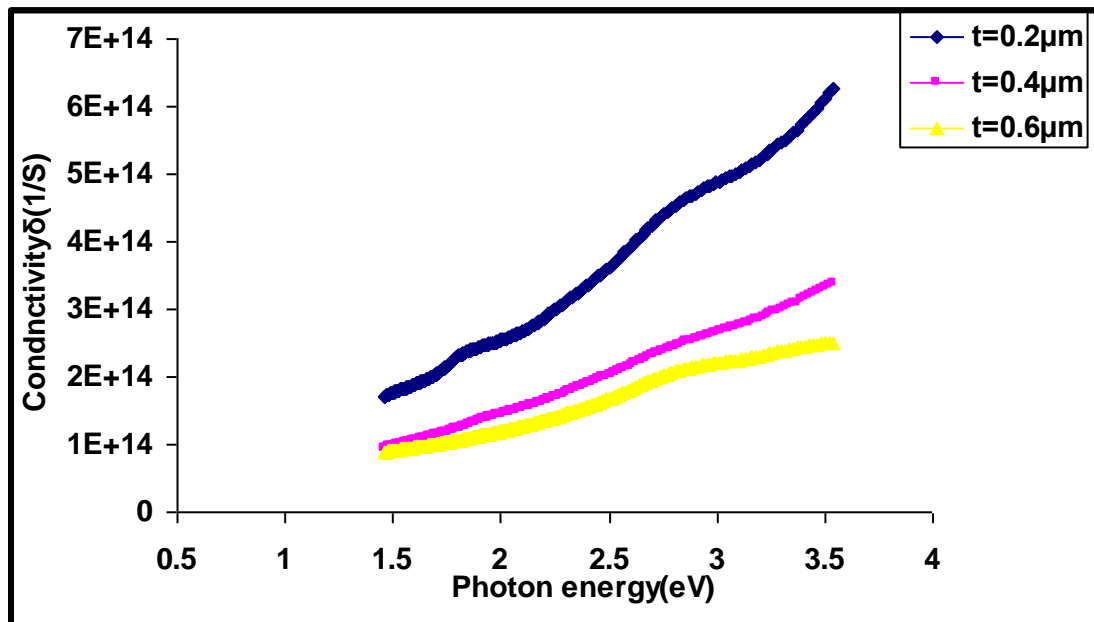
الشكل (14) ثابت العزل الكهربائي الحقيقي مع طاقة الفوتون قبل وبعد التلدين



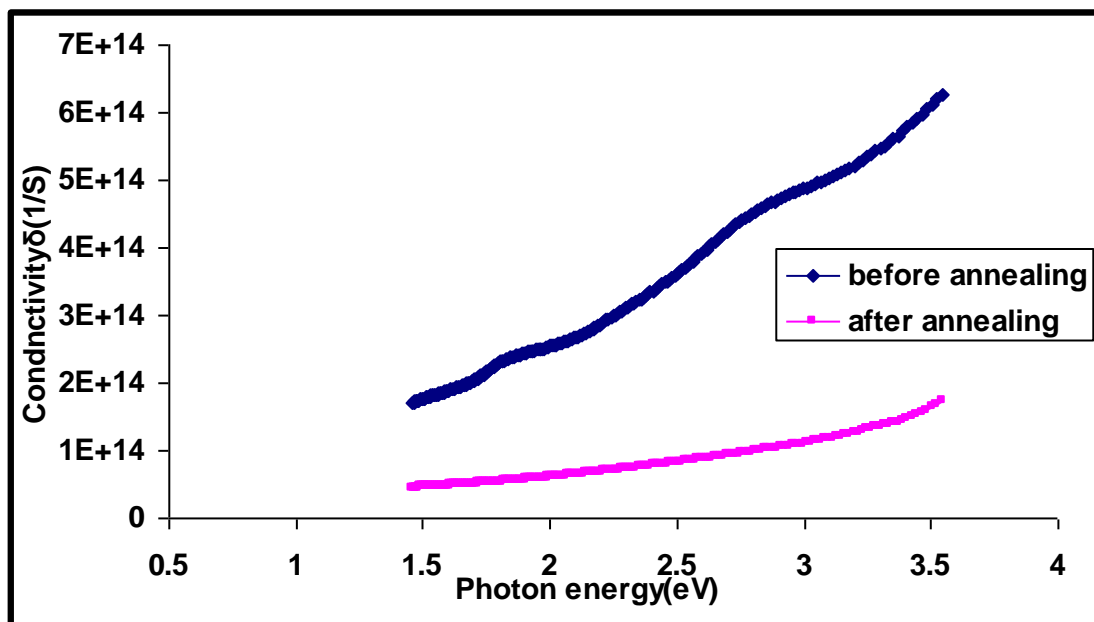
الشكل (15) ثابت العزل الكهربائي الخيالي مع طاقة الفوتون بمختلف الأسماك



الشكل (16) ثابت العزل الكهربائي الخيالي مع طاقة الفوتون قبل وبعد التلدين



الشكل (17) التوصيلية البصرية مع طاقة الفوتون باختلاف السمك



الشكل (18) التوصيلية البصرية مع طاقة الفوتون قبل وبعد التلدين